

УДК 517.977.1/5 (575.2) (04)

**ОПТИМИЗАЦИЯ ПРОЦЕССА ТЕПЛОПРОВОДНОСТИ  
ПРИ УПРАВЛЯЮЩЕМ ВОЗДЕЙСТВИИ  
В ГРАНИЧНЫХ УСЛОВИЯХ**

*Л.Г. Лелевкина* – канд. физ.-мат. наук, доц.

*Н.В. Сатина* – соискатель

The solution of a problem of thermal conductivity for a system with distributed parameters is given in the article. It was shown that quadratic criterion of quality is of a special form including three functional ones. Controlling action in boundary conditions allows control a process of heat exchange. The numerical solutions of the problem as well as graphs of temperature distribution and control actions are shown.

Рассмотрена задача оптимизации процесса теплопроводности при управляющем воздействии в граничных условиях, позволяющем управлять процессом теплообмена с окружающей средой. В отличие от работ [1], [2] квадратичный критерий качества содержит не только функционал энергии, но и функционалы, определяющие квадраты отклонения полученных распределений температур от заданных функций в течение всего процесса нагрева и в конечный момент времени. Применение метода динамического программирования Беллмана к решению задач оптимизации такого типа приводит к сложным уравнениям типа Риккати, численная реализация которых проведена только для эквивалентной задачи в цилиндрической системе координат [3]. В данной работе используется принцип максимума Понтрягина для систем с распределенными параметрами [1]. Получена сопряженная система, необходимые условия оптимальности и структура оптимального управляющего воздействия. Произведена разработка численного алгоритма решения модельной задачи процесса теплопроводности с использованием разностной схемы с весами [4].

**Решение задачи оптимизации принципом максимума Понтрягина**

**1. Необходимые условия оптимальности, структура оптимального управления**

Рассмотрим процесс теплопроводности, описываемый уравнением [1]

$$\frac{\partial u(t, x)}{\partial t} = a \frac{\partial^2 u(t, x)}{\partial x^2} + f(t, x) \quad , \quad 0 < t \leq T \quad , \quad 0 < x < l \quad (1)$$

с начальными и граничными условиями [2]

$$u(0, x) = u_0(x) \quad (2)$$

$$\frac{\partial u(t, 0)}{\partial x} = 0 \quad , \quad \frac{\partial u(t, l)}{\partial x} = h[T_R + p(t) - u(t, l)] \quad (3)$$

Здесь  $u(t,x)$  – распределение температуры в момент времени  $t \in (0, T)$  в точке  $x$ ,  $a$  – коэффициент диффузии,  $T_R$  – температура внешней среды,  $h$  – коэффициент теплообмена,  $p(t)$  – управляющий параметр, входящий в граничные условия,  $f(x,t)$  – плотность внутренних источников тепла,  $u_0(x)$  – распределение температуры в начальный момент времени  $t = 0$ .

Решением рассматриваемой здесь задачи оптимального управления будем называть пару функций  $\{u(t,x), p(t)\}$ , удовлетворяющих уравнениям (1)–(3) и доставляющих минимум следующему функционалу [3]

$$I = \gamma_1 \int_0^T \int_0^1 [u(t,x) - g(t,x)]^2 dx dt + \gamma_2 \int_0^1 [u(T,x) - \varphi(x)]^2 dx + \beta \int_0^T p^2(t) dt, \quad (4)$$

$\gamma_1, \gamma_2, \beta = \text{const} > 0$

Здесь  $T$  – фиксированный момент времени,  $\varphi(x)$ ,  $g(t,x)$  – заданные функции из  $L_2(0,1)$  и  $L_2(0,1) \times (0,T)$ .

Непосредственными вычислениями находим, что при этом функционал  $I[p, \beta, \gamma_1, \gamma_2]$  получает приращение согласно методике [1]

$$\begin{aligned} I(p + \Delta p) - I(p) &= \gamma_1 \int_0^T \int_0^1 \Delta u^2(t,x) dx dt + 2\gamma_1 \int_0^T \int_0^1 \Delta u(t,x) [u(t,x) - g(t,x)] dx dt + \\ &+ 2\gamma_2 \int_0^1 [u(T,x) - \varphi(x)] \Delta u(T,x) dx + 2\beta \int_0^T p(t) \Delta p(t) dt + \\ &+ \gamma_2 \int_0^1 [\Delta u(T,x)]^2 dx + \beta \int_0^T [\Delta p(t)]^2 dt \end{aligned} \quad (5)$$

Задача (1)–(3) в приращениях будет иметь вид:

$$\frac{\partial \Delta u(t,x)}{\partial t} = a \frac{\partial^2 \Delta u(t,x)}{\partial x^2} \quad (6)$$

$$\Delta u(0,x) = 0$$

$$\frac{\partial \Delta u(t,0)}{\partial x} = 0, \quad \frac{\partial \Delta u(t,1)}{\partial x} = h[\Delta p(t) - \Delta u(t,1)]$$

Введем сопряженную систему

$$\frac{\partial \psi(t,x)}{\partial t} + a \frac{\partial^2 \psi(t,x)}{\partial x^2} - 2\gamma_1 [u(t,x) - g(t,x)] = 0, \quad 0 \leq t < T, \quad 0 < x < 1 \quad (7)$$

$$\psi(T,x) = -2\gamma_2 [u(T,x) - \varphi(x)] \quad (8)$$

$$\frac{\partial \psi(t,0)}{\partial x} = 0, \quad \frac{\partial \psi(t,1)}{\partial x} + h\psi(t,1) = 0 \quad (9)$$

Таким образом, сопряженная задача содержит решение исходной задачи (1)–(3).

Умножая уравнение (6) на достаточно гладкую функцию  $\psi(t,x) \in W_2^{0,1}(Q)$ , получим

$$\int_0^T \int_0^1 \psi(t,x) \left[ \frac{\partial \Delta u}{\partial t} - a \frac{\partial^2 \Delta u}{\partial x^2} \right] dx dt = -ah \int_0^T \psi(t,1) [\Delta p(t) - \Delta u(t,1)] dt +$$

$$+ \int_0^T \int_0^1 \left( \frac{\partial \Delta u}{\partial t} \psi(t,x) + a \frac{\partial \psi}{\partial x} \frac{\partial \Delta u}{\partial x} \right) dx dt = 0 \quad (10)$$

Обобщенное решение сопряженной задачи (7)–(9) имеет вид:

$$2\gamma_2 \int_0^1 [u(T,x) - \varphi(x)] \Phi(T,x) dx + \int_0^T \int_0^1 \left[ \psi \frac{\partial \Phi}{\partial t} + a \frac{\partial \psi}{\partial x} \frac{\partial \Phi}{\partial x} + 2\gamma_1 [u(t,x) - g(t,x)] \Phi(t,x) \right] dx dt +$$

$$+ ah \int_0^T \psi(t,1) \Phi(t,1) dt = 0 \quad (11)$$

для любой функции  $\Phi \in W_2^{1,1}(Q)$ , обращающейся в нуль при  $t = 0$ .

Из (10) и (11), полагая  $\Phi = \Delta u$ , получаем

$$2\gamma_2 \int_0^1 [u(T,x) - \varphi(x)] \Delta u(T,x) dx + ah \int_0^T \Delta p(t) \psi(t,1) dt + 2\gamma_1 \int_0^1 \int_0^1 [u(t,x) - g(t,x)] \Delta u(t,x) dx dt = 0 \quad (12)$$

С учетом (12) приращение функционала  $\Delta I$  имеет вид

$$\Delta I = \gamma_1 \int_0^T \int_0^1 \Delta u^2(t,x) dx dt - ah \int_0^T \Delta p(t) \psi(t,1) dt + 2\beta \int_0^T \Delta p(t) p(t) dt + \gamma_2 \int_0^1 [\Delta u(T,x)]^2 dx + \beta \int_0^T [\Delta p(t)]^2 dt \quad (13)$$

Для того чтобы

$$\Delta I = \gamma_1 \int_0^T \int_0^1 \Delta u^2(t,x) dx dt - \int_0^T \Delta p(t) [ah \psi(t,1) - 2\beta p(t)] dt +$$

$$+ \gamma_2 \int_0^1 [\Delta u(T,x)]^2 dx + \beta \int_0^T [\Delta p(t)]^2 dt \geq 0$$

необходимо выполнение следующего неравенства:

$$- \int_0^T \Delta p(t) [ah \psi(t,1) - 2\beta p(t)] dt \leq 0, \quad (14)$$

так как интегралы в правой части (13), содержащие квадраты приращений решения и управления неотрицательны.

Вводя функцию Понтрягина, неравенство (14) можно представить в виде:

$$\int_0^T [H(\psi^0, u^0, p) - H(\psi^0, u^0, p^0)] dt \leq 0 \quad (15)$$

для всех допустимых управлений. Неравенство (15) эквивалентно следующему равенству:

$$H(\psi^0, u^0, p^0) (=) \max_p H(\psi^0, u^0, p), \quad (16)$$

где

$$H(\psi^0, u^0, p) = ah \psi(t,1) p(t) - \beta p^2(t)$$

Отсюда следует, что оптимальное управление имеет вид:

$$p(t) = \frac{ah\psi^0(t,1)}{2\beta} \quad (17)$$

Таким образом, полученное управление (17) доставляет минимум функционалу (4) и является решением задач

$$\begin{cases} \frac{\partial u(t,x)}{\partial t} = a \frac{\partial^2 u(t,x)}{\partial x^2} + f(t,x) \quad , \quad 0 < t \leq T, \quad 0 < x < 1 \\ u(0,x) = u_0(x) \\ \frac{\partial u(t,0)}{\partial x} = 0 \quad , \quad \frac{\partial u(t,1)}{\partial x} = h[T_R + p(t) - u(t,1)] \end{cases} \quad (18)$$

и

$$\begin{cases} \frac{\partial \psi(t,x)}{\partial t} + a \frac{\partial^2 \psi(t,x)}{\partial x^2} - 2\gamma_1[u(t,x) - g(t,x)] = 0 \quad , \quad 0 \leq t < T, \quad 0 < x < 1 \\ \psi(T,x) = -2\gamma_2[\varphi(x) - u(T,x)] \\ \frac{\partial \psi(t,0)}{\partial x} = 0 \quad , \quad \frac{\partial \psi(t,1)}{\partial x} + h\psi(t,1) = 0 \end{cases} \quad (19)$$

## 2. Численное решение модельной задачи

Решение задачи (18), (19) проводится с использованием разностной схемы с весами [4] путем сведения задачи к итерационному процессу ( $k$  – итерационный параметр):

Для задачи (18) итерационный процесс имеет вид:

$$p^{(k)}(x) \equiv 0 \quad , \quad 0 \leq x \leq 1 \quad , \quad 0 \leq t \leq T \quad , \quad k = 0, 1, \dots$$

$$\begin{cases} \frac{\partial u^{(k)}(t,x)}{\partial t} = a \frac{\partial^2 u^{(k)}(t,x)}{\partial x^2} + f(t,x) \\ u^{(k)}(0,x) = u_0(x) \\ \frac{\partial u^{(k)}(t,0)}{\partial x} = 0 \quad , \quad \frac{\partial u^{(k)}(t,1)}{\partial x} = h[T_R + p^{(k)}(t) - u^{(k)}(t,1)] \end{cases} \quad (20)$$

Тогда соответствующая схема решения задачи (20) принимает вид:  
 $n = 1, 2, \dots, M$

$$\begin{cases} -\frac{1+\Theta}{2}ku_{i-1}^n + [1+(1+\Theta)k]u_i^n - \frac{1+\Theta}{2}ku_{i+1}^n = \\ = \frac{1-\Theta}{2}ku_{i-1}^{n-1} + [1-(1-\Theta)k]u_i^{n-1} + \frac{1-\Theta}{2}ku_{i+1}^{n-1} + \\ + \frac{1+\Theta}{2}\varphi_i^n + \frac{1-\Theta}{2}\varphi_i^{n-1} \quad , \quad i = 2, \dots, N-1 \\ u_i^0 = u_0(x_i) \quad , \quad i = 1, \dots, N \\ \frac{u_2^n - u_1^n}{h_1} = 0 \\ \frac{u_N^n - u_{N-1}^n}{h_1} = h[T_R + p^n - u_N^n] \end{cases} \quad (21)$$

где  $k = \frac{a\tau}{h_1^2}$  – число Куранта;  $\Theta \in [-1,1]$  – параметр схемы.

Для сопряженной задачи (19) итерационный процесс имеет вид:

$$\begin{cases} \frac{\partial \psi^{(k+1)}}{\partial t} + a \frac{\partial^2 \psi^{(k+1)}}{\partial x^2} - 2\gamma_1 [u^{(k)}(t,x) - g(t,x)] = 0 \\ \psi^{(k+1)}(T,x) = 2\gamma_2 [\varphi(x) - u^{(k)}(T,x)] \\ \frac{\partial \psi^{(k+1)}(t,0)}{\partial x} = 0, \quad \frac{\partial \psi^{(k+1)}(t,l)}{\partial x} + h\psi^{(k+1)}(t,l) = 0 \end{cases} \quad (22)$$

И соответствующая схема решения сопряженной задачи (22) представляется в виде:  $n = M, M-1, M-2, \dots, 1$ .

$$\begin{cases} -\frac{1-\Theta}{2}k\psi_{i-1}^{n-1} + [1+(1-\Theta)k]\psi_i^{n-1} - \frac{1-\Theta}{2}k\psi_{i+1}^{n-1} = \\ = \frac{1+\Theta}{2}k\psi_{i-1}^n + [1-(1+\Theta)k]\psi_i^n + \frac{1+\Theta}{2}k\psi_{i+1}^n + \\ + \gamma_1(1+\Theta)\tau[u_i^n - g_i^n] - \gamma_1(1-\Theta)\tau[u_i^{n-1} - g_i^{n-1}] \quad , \quad i = 2, \dots, N-1 \\ \psi_i^n = -2\gamma_2 [u(T,x) - \varphi(x)] \quad , \quad i = 1, \dots, N \\ \frac{\psi_2^n - \psi_1^n}{h} = 0 \\ \frac{u_N^n - u_{N-1}^n}{h} + \psi_N^n h l = 0 \end{cases} \quad (23)$$

Для управления  $p(t)$  имеем следующий итерационный процесс:

$$p^{(n)}(t) = \frac{ah}{2\beta} \psi_N^n. \quad (24)$$

На каждом временном слое  $tn$  системы уравнений (21),(23) решаются последовательно методом прогонки, причем система (21) решается в прямом направлении, т.е. начиная с момента времени  $t_l = 0$ , а система (23) в обратном, начиная с момента времени  $t_M = T$ .

Представим результаты численных экспериментов с использованием итерационного алгоритма (20), (22) и (24). С этой целью решим модельную задачу с известным точным решением.

Полагаем в (18)  $f(t,x) \equiv 0$ ,  $T_R = 0$ ,

$$u(0,x) = \cos(2\pi l x). \quad (25)$$

В качестве функций  $\varphi(x)$  и  $g(t,x)$  в функционале (4) выбираются следующие функции:

$$\varphi(x) = \frac{1}{2\gamma_2} \cos(\rho x) \exp(-a\mu^2 T) + \cos(\mu x) \exp(-a\mu^2 T) \quad (26)$$

$$g(t,x) = \frac{1}{2\gamma_2} \cos(\rho x) \exp(-a\mu^2 t) + \cos(\mu x) \exp(-a\mu^2 t), \quad (27)$$

где  $\mu = 2\pi l$ ,  $\rho = \frac{\pi}{4} + 2\pi k$ ,  $h = \rho t g \rho$ ,  $\gamma_1 = a(\rho^2 + \mu^2)\gamma_2$ .

Точные решения задач (18), (19) и (17) запишутся в следующем виде:

$$u(t,x) = \cos(\mu x) \exp(-a\mu^2 t), \quad (28)$$

$$\psi(t, x) = \cos(\rho x) \exp(-a\mu^2 t), \tag{29}$$

$$p(t) = \frac{ahl}{2\beta} \cos(\rho) \exp(-a\mu^2 t). \tag{30}$$

Проанализируем, как ведет себя тестовая задача, варьируя параметры задачи.

Таблица 1

Зависимость относительных ошибок функций  $u^m, p^m$  от числа узлов

Параметр			Число		Кол-во итераций	Отн. ошибка		Оценка сход. ит. проц.
К	l	a	узлов	врем. слоев		u	p	
3	2	0.0005	100	100	8	2.4721	2.4827	0.00003
3	2	0.0005	40	10	61	7.9294	9.8608	0.00009

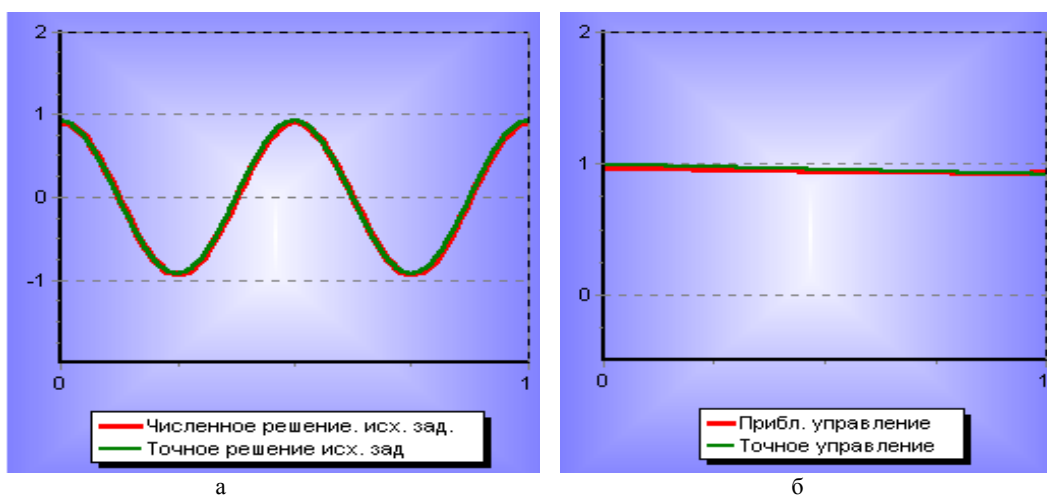


Рис. 1: а – решение  $u(t,x)$ , б – управление  $p(t)$  при различных параметрах, приведенных в табл. 1 (число узлов =100, число временных слоев =100).

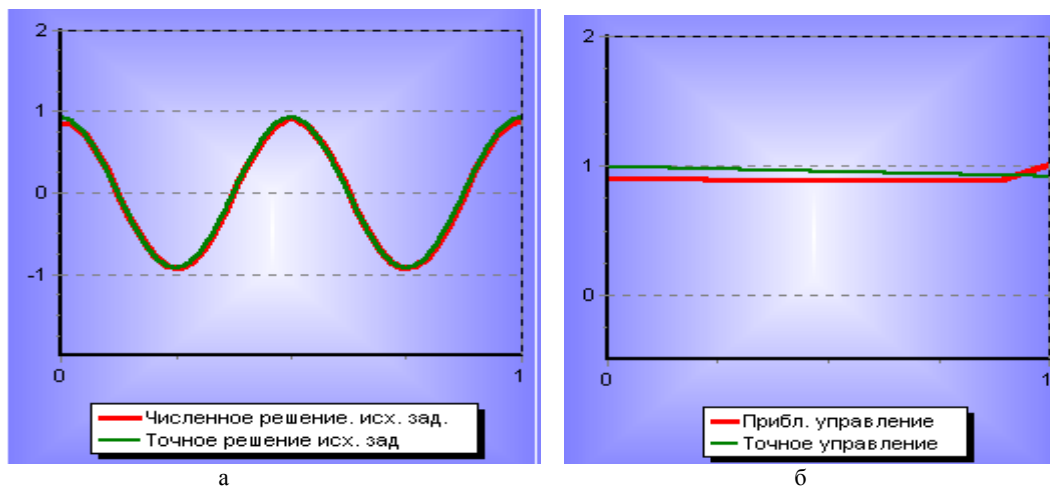


Рис. 2: а – решение  $u(t,x)$ ; б – управление  $p(t)$  при различных параметрах, приведенных в табл. 1 (число узлов = 40, число временных слоев = 10).

Из табл. 1 и рис. 1, 2 можно сделать вывод, что с увеличением числа узлов сетки и временных слоев относительная ошибка  $u^m$  и  $p^m$  уменьшаются, а скорость сходимости итерационного процесса увеличивается.

Таблица 2

Зависимость относительных ошибок функций  $u^m, p^m$  от параметров  $k$  и  $l$  тестовой задачи

Параметр			Число		Кол-во итераций	Отн. ошибка		Оценка сход. ит. проц.
К	$l$	$a$	узлов	врем. слоев		u	p	
2	1	0.0005	100	10	8	0,59346	1,57790	0.00005
5	3	0.0005	100	10	36	5,63556	5,71464	0.00009

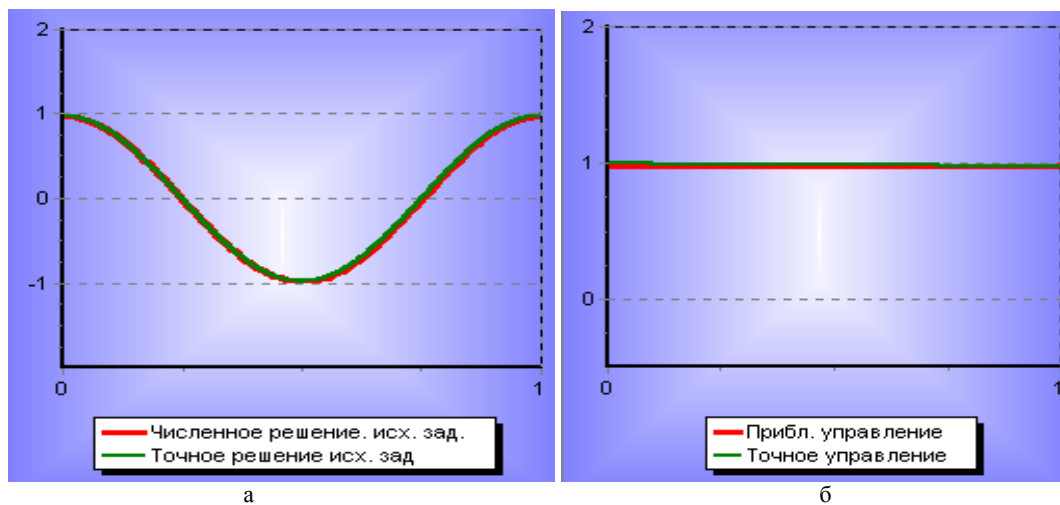


Рис. 3: а – решение  $u(t,x)$ ; б – управление  $p(t)$  при различных параметрах, приведенных в табл. 2 (число узлов =100, число временных слоев =100).

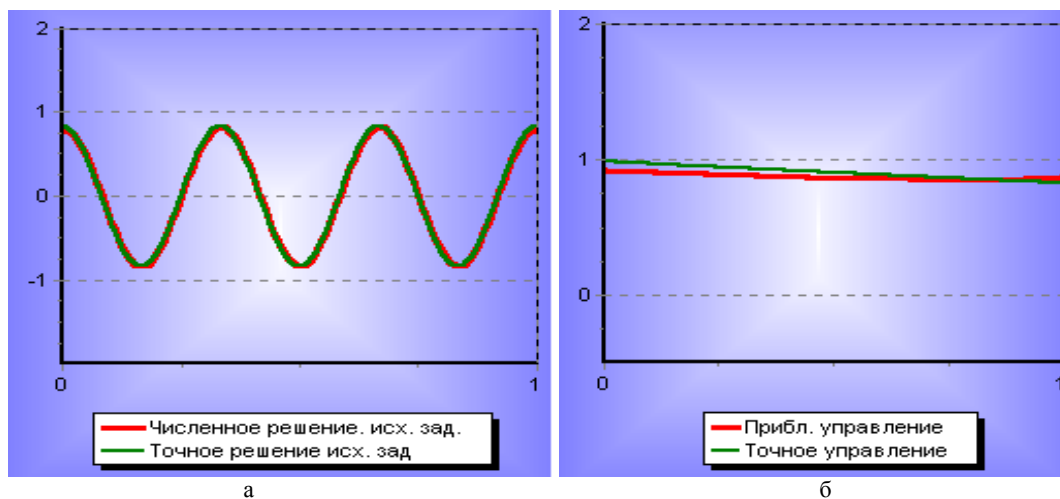


Рис. 4: а – решение  $u(t,x)$ ; б – управление  $p(t)$  при различных параметрах, приведенных в табл. 2 (число узлов = 40, число временных слоев=10).

Из табл. 2 и рис. 3, 4 видно, что с увеличением значений параметров  $k$  и  $l$  относительная ошибка  $u^m$  и  $p^m$  увеличивается, а скорость сходимости итерационного процесса уменьшается. Это связано с увеличением гармоник ряда Фурье, т.е. чем их больше, тем сложнее вид решения и тем ошибка численного решения больше.

Таблица 3

Зависимости относительных ошибок функций  $u^m$ ,  $p^m$  от параметра  $a$

Параметр			Число		Кол-во итераций	Отн. ошибка		Оценка сход. ит. проц.
К	l	a	узлов	врем. слоев		u	p	
3	2	0.0005	100	100	8	2.4721	2.4827	0.00003
3	2	0.005	100	100	5	253.491	322.604	6.25065
1	1	0.005	100	100	10	1,77973	1,47122	0.00003
1	1	0.005	40	10	15	4,8324	5,9039	0.00009

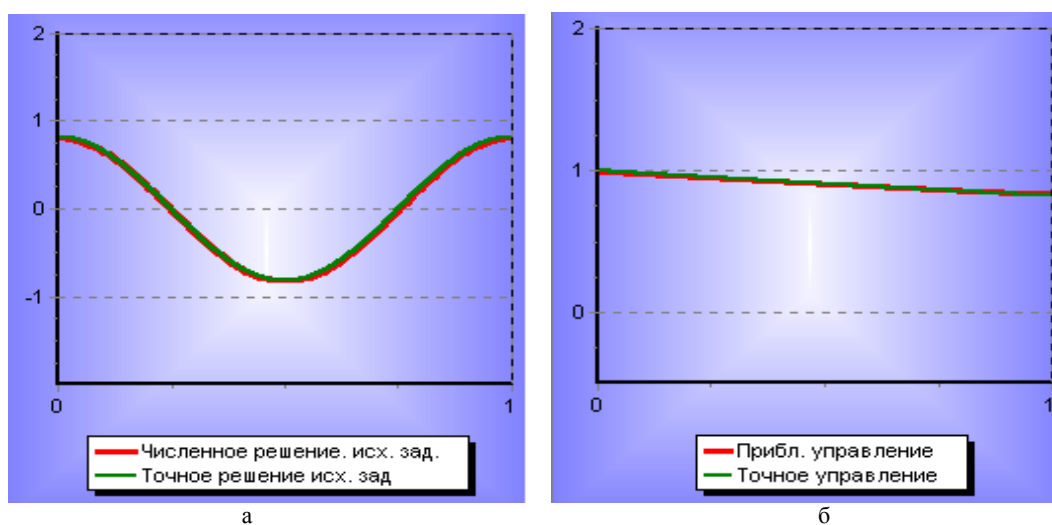


Рис. 5: а – решение  $u(t,x)$ ; б – управление  $p(t)$  при различных параметрах, приведенных в табл. 3 ( $k = 1, l = 1, a = 0.005$ , число узлов = 100, число временных слоев = 100).

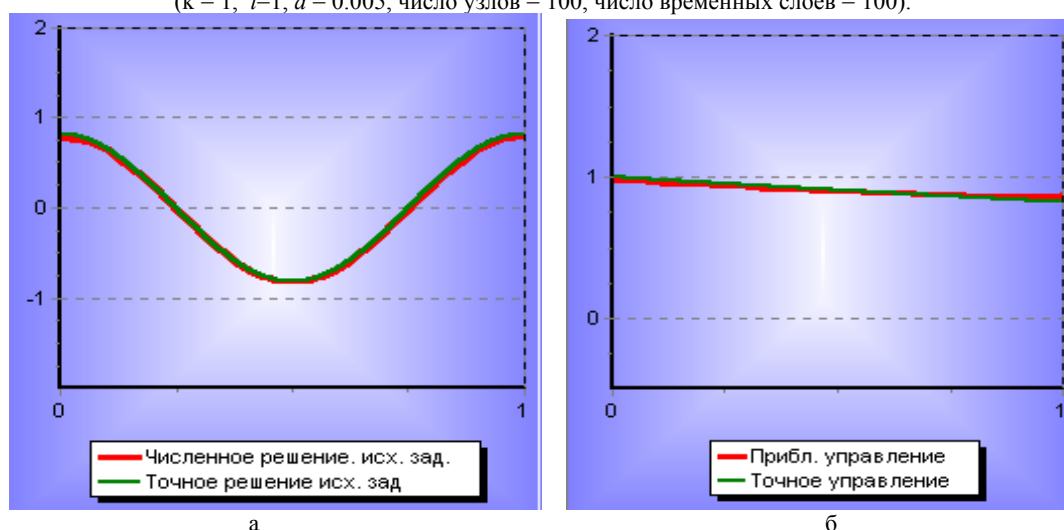


Рис. 6: а – решение  $u(t,x)$ ; б – управление  $p(t)$  при различных параметрах, приведенных в табл. 3 ( $k = 1, l = 1, a = 0.005$ , число узлов = 40, число временных слоев = 10).



Из табл. 3 видно, что итерационный процесс при увеличении параметра  $a$  и при достаточно больших значениях параметров  $k, l$  расходится. И при большом числе итераций относительные ошибки  $u^m, p^m$  достаточно велики. Однако при  $k=1, l=1$  и при увеличении параметра  $a$  итерационный процесс сходится и относительные ошибки малы. Это также можно наблюдать и на рис. 5. И даже если уменьшить количество временных слоев и число узлов сетки, итерационный процесс будет сходиться, только за большее число итераций (рис. 6).

Таким образом, многочисленные эксперименты показали быструю сходимость итерационного процесса (20), (22) и (24) при малых значениях параметров  $k < 2, l < 1$  и  $a < 0.005$

### ***Литература***

1. *Егоров А.И.* Оптимальное управление тепловыми и диффузионными процессами. – М.: Наука, 1978.
1. *Васильев Ф.П.* Методы решения экстремальных задач. – М: Наука, 1981.
2. *Лелевкина Л.Г., Самохвалова Т.П., Шемякина Т.А.* Метод Беллмана в задачах синтеза оптимального управления индукционным нагревом металлов // Вестник КРСУ. – 2001. – Т. 1. – № 2. – С. 54–62.
3. *Скляр С.Н., Алтынникова Л.В.* Разностные схемы для решения нестационарных задач диффузионно-конвективного переноса. – Бишкек: Илим, 2001.